

締固めた不飽和土の K_0 値測定について (オミ報)

佐賀大学 理工学部 正会員 鬼塚克忠
 学生会員 ○古賀尚幸

1. まえがき 締固めた不飽和土の K_0 値は飽和土と異なり、次の特徴を有する。まず第一に、締固め土の含水状態は降雨の有無や雨量等の気象条件、地下水位の変化等に大きく左右される。その結果、 K_0 値はせん断強度と同様に、含水状態の変動に伴い、経時的に変化する。第二に、締固め土は過去に転圧荷重によって締固められており、一般的に過圧密土である。 K_0 値は、過圧密比と密接な関係にあるものと考えられる。

本研究では、このような締固め土の K_0 値特性を明確にするために、ゴムダイヤフラムを用いて K_0 値測定装置を作成した。すなはち、種々の含水比を持つまさ土と白色粘土について、正規圧密および過圧密領域における K_0 値を求め、 K_0 値と過

圧密比の関係等を示した。本報告はこれらに續くものであり、測定精度を高めたために、今回新たに K_0 値測定装置の下部に土圧計を埋設した。この結果、周面摩耗がかなり大きいことが判明した。周面摩耗の影響や新たに得られた測定結果について報告する。

2. 試験方法 2.1 試験装置 現在 K_0 値測定方法としては最も信頼度が高いのは、供試体直徑を一定における不飽和土の K_0 値測定には、この三軸試験による測定方法は適当がない。そこで、著者らは Fig. 1 のような K_0 値測定装置を試作した。試料容器は直徑 10 cm、高さ 5 cm である。この試料高さ 5 cm の内、下部 3 cm は厚さ 2 mm のゴム膜（ネオアレンゴム）を張りめぐらしている。ゴムのダイヤフラムの外側は高さ 3 cm、幅 1.5 cm のリング状空間からなり、この中は蒸留水が満たす。垂直荷重によつて生じる土中の水平応力を周面のダイヤフラムが受け、これに接して土中の圧力を小型圧力変換器が受け、このダイヤフラムの圧力伝達率はほぼ 100% である。今回、載荷荷重がこれだけ下部に伝わるかを調べるために、 K_0 値測定装置の下部に直徑 6 cm の受圧面を有する土圧計を埋めこんだ。

2.2 試料 今回用いた試料は豊浦砂と佐賀郡川上村採取したまさ土である。川上まさ土は、 $G_s=2.64$ 、粒度分布は、シキ分 22%、砂分 61%、シルト分 11%、粘土分 6% である。試験には 2 mm 以下を使用した。

2.3 試験の手順 初期含水比を調整した試料をひもただりゆるく容器の中に詰めた。これを高圧密試験機（最小圧密荷重 $\sigma_{vo}=0.036 \text{ kgf/cm}^2$ 、最大圧密荷重 $\sigma_v=9.216 \text{ kgf/cm}^2$ ）にセットし、圧密荷

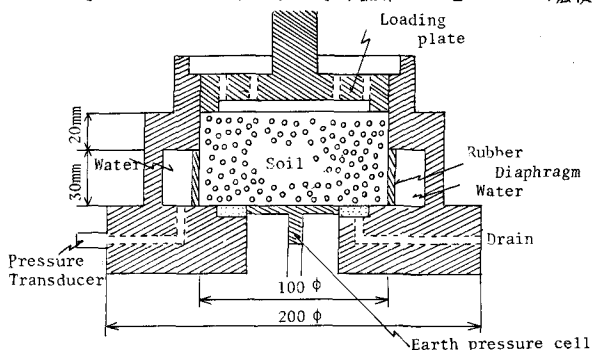
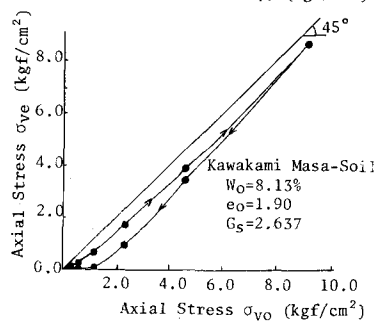
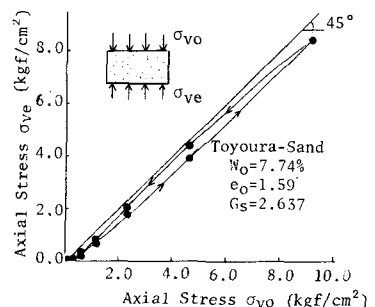


Fig.1 Assembly of test cell

Fig.2 Relation between σ_{ve} and σ_{vo}

重を載荷した。最大圧密荷重を載荷した後は、逆に一荷ずつ除荷した。各圧密および除荷時間は20分間とした。一部試料についでは、上盤を載せた後、給水して飽和させ、圧密(載荷)・除荷試験を行った。

3. 周面まさつ Fig. 2に豊浦砂とまさ土の上載圧密応力 σ_{vo} と供試体下部で測定した垂直応力 σ_{ve} の関係を示した。周面まさつ力($\sigma_{vo} - \sigma_{ve} = \sigma_{hv}$)は、豊浦砂、まさ土とも圧密応力が増えるに従って大きくなるが、 σ_{vo} が 5 kgf/cm^2 以上になるとほぼ一定になり、 σ_{ve} は45線にはほぼ平行となる。 $\sigma_{vo} = 5 \text{ kgf/cm}^2$ における σ_{ve} を求めると、豊浦砂で $\sigma_{ve} \sim 10 \text{ kgf/cm}^2$ 、まさ土で $\sigma_{ve} \sim 0.75 \text{ kgf/cm}^2$ となる。一般に含水比が高くなると周面まさつ力は小さくなるようである。従来の研究によると、圧密試験では σ_{ve} は加えた応力 σ_{vo} へ10~20%程度であり、80~90%は下部に伝わると言われる。しかし本試験では圧密応力が小さく、周面まさつの示す割合が大きい。 σ_{vo} が約 3.20 kgf/cm^2 以上になるとほぼ上記の80~90%伝達するようになる。周面まさつが一様に分布すると仮定すると、 $\sigma_{hv}/\sigma_{vo} = 1 - exp(-2M \cdot K_0/R)$ が得られる。ここに、 σ_{hv} : 周面まさつによる圧密応力の減少値、 σ_{vo} : 圧密応力、 R : 試料半径、 M : 周面まさつ係数。この式において、実験から求めた M を代入して、周面まさつ係数 M はFig. 3に示すように圧密応力 σ_{vo} の増大とともに減少する。通常の圧密試験では σ_{vo} が $3 \sim 4 \text{ kgf/cm}^2$ 以上になると、 M は一定になるとという報告があるが、本試験では σ_{vo} が 4 kgf/cm^2 以上になると M も減少していく。

4. K_0 値について Fig. 4にまさ土の水平応力と垂直応力の関係を示した。垂直応力としては、圧密応力 σ_{vo} と平均応力 $(\sigma_{vo} + \sigma_{ve})/2$ の2つを採用した。正規圧密領域での K_0 値は直線の傾きから求めると、平均応力を求めた K_0 値が圧密応力を求めたものより大きくなる。まさ土の K_0 値と含水比の関係を示したのがFig. 5である。既に発表した白色粘土乙)とは逆の傾向を示している。すなわち、まさ土は最適含水比前後の K_0 値がピークとなる。何故こうなるのか不明である。圧縮指数に対して K_0 値をプロットするとFig. 6のようになる。圧縮しやすい土ほど K_0 値が大きいと言えよう。

参考文献

- 1) 鬼塚克忠・吉武茂樹: 締固めた不飽和土の K_0 値測定について、工木学会西部支部、研究発表会講演集、1982
- 2) 鬼塚克忠・吉武茂樹: 締固めた不飽和土の K_0 値測定について(続編)、工木学会第37回年次学術講演概要集、第3部、1982

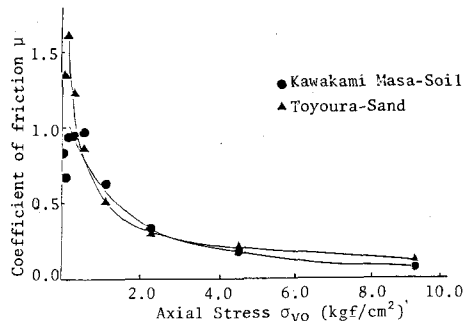


Fig. 3 Relation between coefficient of friction μ and axial stress σ_{vo}

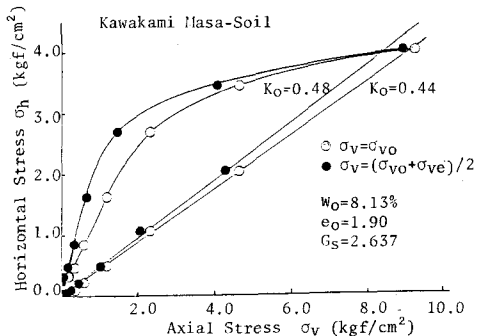


Fig. 4 Relation between horizontal stress σ_h and axial stress σ_v

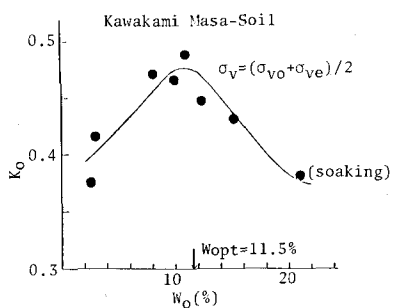


Fig. 5 Relation between K_0 value and water content

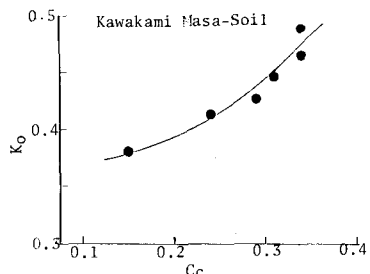


Fig. 6 Relation between K_0 value and compression index C_c